## Integrali multipli e di superficie

### Integrali doppi

Enunciamo e dimostriamo un paio di risultati concernenti gli integrali doppi.

**Proposizione 1** Sia  $A \subset \mathbb{R}^2$  di misura nulla  $e \ f : A \to \mathbb{R}$  limitata. Allora  $f \in R(A)$  e

$$\iint_A f(x,y) \, dx dy = 0.$$

**Dim.** Sia  $\varepsilon>0$  fissato. Poiché A è di misura nulla, esistono  $Q_1,\dots,Q_{n_\varepsilon}$  rettangoli tali che

$$A \subset \bigcup_{i=1}^{n_{\varepsilon}} Q_i$$
,  $\sum_{i=1}^{n_{\varepsilon}} |Q_i| < \varepsilon$ .

Siano ora  $Q = [a, b] \times [c, d] \supset A$  un rettangolo contenente tutti i rettangoli  $Q_i$  e  $\widetilde{f}$  l'estensione di f a Q,

$$\widetilde{f} = \begin{cases} f(x,y) & \text{se } (x,y) \in A, \\ 0 & \text{se } (x,y) \in Q \setminus A. \end{cases}$$

Poiché f è limitata, esiste M > 0 tale che  $|\widetilde{f}(x)| \leq M$  per ogni  $x \in A$ . A partire dai rettangoli  $Q_i$ ,  $i = 1, \ldots, n_{\varepsilon}$ , costruiamo una suddivisione  $\mathcal{D}$  di Q,

$$\mathcal{D} = \{ (x_{\ell}, y_k) : a = x_0 < x_1 < \dots < x_L = b, \ c = y_0 < y_1 < \dots < y_K = d \}$$

tale che esistano rettangoli  $Q_{\ell,k}=[x_{\ell-1},x_{\ell}]\times[y_{k-1},y_k]$  per cui valga (si veda la figura 1)

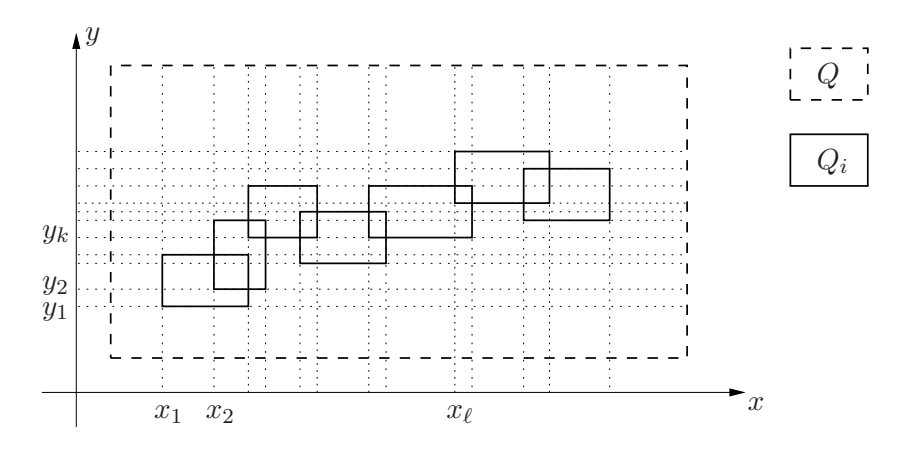


Figura 1: La suddivisione nella dimostrazione della proposizione 1

$$\bigcup_{\ell,k} Q_{\ell,k} = \bigcup_{i=1}^{n_{\varepsilon}} Q_i.$$

Allora

$$-M\varepsilon < -M\sum_{i=1}^{n_{\varepsilon}} |Q_{i}| \leq \sum_{\ell,k} |Q_{\ell,k}| \inf_{Q_{\ell,k}} \widetilde{f}(x,y) = s(\mathcal{D}, \widetilde{f}) \leq$$

$$\leq S(\mathcal{D}, \widetilde{f}) = \sum_{\ell,k} |Q_{\ell,k}| \sup_{Q_{\ell,k}} \widetilde{f}(x,y) \leq M\sum_{i=1}^{n_{\varepsilon}} |Q_{i}| < M\varepsilon,$$

da cui discende sia l'integrabilità di  $\widetilde{f}$  in Q, e quindi quella di f in A, sia il fatto che l'integrale di f in A è nullo.

**Teorema 1** Sia  $\Omega \in \mathbb{R}^2$  dominio normale rispetto ad uno degli assi. Allora  $\Omega$  è misurabile.

**Dim.** Per fissare le idee assumiamo che  $\Omega$  sia normale rispetto all'asse y, cosicché esistono un intervallo  $[a,b] \subset \mathbb{R}$  e due funzioni  $g_1,g_2 \in \mathcal{C}^0([a,b])$  tali che

$$\Omega = \{(x, y) \in \mathbb{R}^2 : x \in [a, b], g_1(x) \le y \le g_2(x)\}$$

Allora la frontiera di  $\Omega$  è l'insieme unione dei grafici di  $g_1$  e  $g_2$ , che sono di misura nulla perché le funzioni sono integrabili in [a,b], e dei segmenti congiungenti i punti  $(a,g_1(a))$  e  $(b,g_1(b))$  rispettivamente con i punti  $(a,g_2(a))$  e  $(b,g_2(b))$ , ed in quanto segmenti sono di misura nulla. Se ne deduce che  $\partial\Omega$  è un insieme di misura nulla e quindi  $\Omega$  è misurabile.

### Integrali tripli per fili

Come esempio di integrazione per fili, calcoliamo il volume di una sfera di centro l'origine e raggio R > 0. Essa è descritta da

$$S = \left\{ (x, y, z) \in \mathbb{R}^3 : (x, y) \in B_R(0, 0), -\sqrt{R^2 - (x^2 + y^2)} \le z \le \sqrt{R^2 - (x^2 + y^2)} \right\},$$

e quindi, in particolare, è un dominio normale rispetto all'asse z. Allora

$$|S|_3 = \iint_{B_R(0,0)} \left( \int_{-\sqrt{R^2 - (x^2 + y^2)}}^{\sqrt{R^2 - (x^2 + y^2)}} dz \right) dx dy = 2 \iint_{B_R(0,0)} \sqrt{R^2 - (x^2 + y^2)} dx dy.$$

Passando in coordinate polari nel piano si ottiene

$$|S|_3 = 2 \iint_{[0,R]\times[0.2\pi]} \rho \sqrt{R^2 - \rho^2} \, d\rho d\varphi = \frac{4}{3}\pi R^3.$$

## Integrali tripli per strati

Il teorema che segue fornisce un metodo generale per integrare per strati in un sottoinsieme D di  $\mathbb{R}^3$  indipendentemente dal fatto che D sia o no un parallelepipedo.

**Teorema 2** Sia  $D \subset \mathbb{R}^3$  dominio di integrazione delimitato dai piani z = a e z = b, a < b. Fissato  $z \in [a, b]$ , sia  $D_z$  la proiezione delle prime due coordinate della sezione orizzontale di quota z di D, cioè

$$D_z = \{(x, y) \in \mathbb{R}^2 : (x, y, z) \in D\}.$$

Se  $f: D \to \mathbb{R}$  è continua e per ogni  $z \in [a, b]$  la sezione  $D_z$  è misurabile, allora vale la seguente formula di integrazione per strati

$$\iiint_D f(x, y, z) dxdydz = \int_a^b \left( \iint_{Dz} f(x, y, z) dxdy \right) dz.$$

Esempio 1 Come esempio di integrazione per strati, ricalcoliamo il volume di una sfera di centro l'origine e raggio R. Detta S la sfera, essa è delimitata dai piani z = -R e z = R. La proiezione  $S_z$  delle prime due coordinate della sezione orizzontale di quota  $z \in [-R, R]$  è

$$S_z = \{(x, y) \in \mathbb{R}^2 : x^2 + y^2 < R^2 - z^2\},$$

che è un cerchio sul piano xy di centro l'origine e raggio  $\sqrt{R^2-z^2}$ . Allora

$$|S|_3 = \int_{-R}^R \left( \iint_{S_z} dx dy \right) dz = \int_{-R}^R |S_z|_2 dz = \pi \int_{-R}^R (R^2 - z^2) dz = \frac{4}{3} \pi R^3.$$

### Solidi di rotazione

Il volume di un solido di rotazione può essere calcolato tramite il

**Teorema 3 (di Pappo)** Sia  $\Omega \subset \mathbb{R}^2$  misurabile, contenuto nel semipiano xz con  $x \geq 0$ . Allora il volume del solido S generato dalla rotazione di  $\Omega$  attorno all'asse z di un angolo  $\alpha \in [0, 2\pi]$  è

$$|S|_3 = \alpha |\Omega|_2 x_B = \alpha \iint_{\Omega} x \, dx dz$$
,

dove  $x_B$  è l'ascissa del baricentro di  $\Omega$ .

**Dim.** Si osservi che in coordinate cilindriche

$$S = \left\{ (\rho, \varphi, z) \in \mathbb{R}^{\geq 0} \times [0, 2\pi] \times \mathbb{R} : (\rho, z) \in \Omega \,, \ \varphi \in [0, \alpha] \right\},$$

e quindi con il teorema di cambiamento di variabile risulta

$$|S|_3 = \iiint_S dx dy dz = \int_0^\alpha \iint_{(\rho,z)\in\Omega} \rho \, d\rho dz = \alpha |\Omega| x_B,$$

come si voleva.  $\Box$ 

In pratica il teorema di Pappo afferma che il volume generato dalla rotazione di un insieme misurabile  $\Omega \subset \mathbb{R}^2$  è pari al prodotto dell'area di  $\Omega$  per la lunghezza della curva percorsa dal baricentro durante la rotazione. Il teorema non vale se  $\Omega$  non è interamente contenuto nel semipiano  $x \geq 0$ : si pensi, ad esempio, ad un insieme misurabile la cui ascissa del baricentro è nulla (si veda l'osservazione 1 sull'analogo teorema 4 di Guldino).

Esempio 2 Fissati  $0 < a \le R$ , calcoliamo il volume del settore sferico generato dalla rotazione attorno all'asse z dell'insieme  $\Omega$  compreso tra l'arco di circonferenza di equazione  $x^2 + z^2 = R^2$  con  $0 \le x \le a$ ,  $z \ge 0$ , e il segmento della retta di equazione  $z = (\sqrt{R^2 - a^2}/a)x$  (si vedano le figure 2 e 3),

$$S = \left\{ (x, y, z) \in \mathbb{R}^3 : (\sqrt{R^2 - a^2}/a)\sqrt{x^2 + y^2} \le z \le \sqrt{R^2 - x^2 - y^2}, \ x^2 + y^2 \le a^2 \right\}.$$

Per calcolare il volume di S, usiamo il teorema di Pappo e calcoliamo

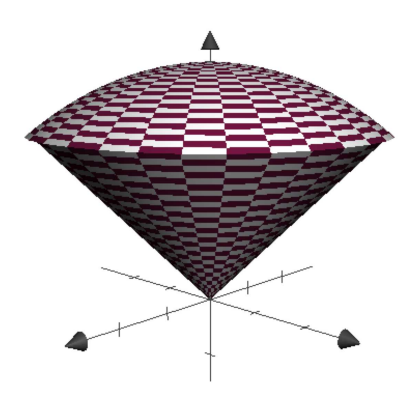


Figura 2: Il settore sferico dell'esempio 2

$$\iint_{\Omega} x \, dx dz = \int_{0}^{a} \left( \int_{(\sqrt{R^{2} - a^{2}}/a)x}^{\sqrt{R^{2} - x^{2}}} x \, dz \right) \, dx = \int_{0}^{a} x \left( \sqrt{R^{2} - x^{2}} - \frac{\sqrt{R^{2} - a^{2}}}{a} x \right) \, dx$$

$$= -\frac{1}{3} (R^{2} - x^{2})^{3/2} \Big|_{0}^{a} - \frac{\sqrt{R^{2} - a^{2}}}{3a} x^{3} \Big|_{0}^{a} = \frac{1}{3} \left[ R^{3} - (R^{2} - a^{2})^{3/2} - \sqrt{R^{2} - a^{2}} a^{2} \right]$$

$$= \frac{R^{2}}{3} (R - \sqrt{R^{2} - a^{2}})$$

Allora

$$|S|_3 = \frac{2\pi}{3}R^2(R - \sqrt{R^2 - a^2}).$$

## Superfici di rotazione

Il teorema che segue è l'analogo del teorema di Pappo per le superfici di rotazione.

**Teorema 4 (di Guldino)** Sia  $\gamma:[a,b]\to\mathbb{R}^2$ ,  $\gamma(t)=(x(t),z(t))$ , curva regolare semplice contenuta nel semipiano xz tale che x(t)>0 per ogni  $t\in ]a,b[$ . Allora l'area della superficie  $\Sigma$  generata

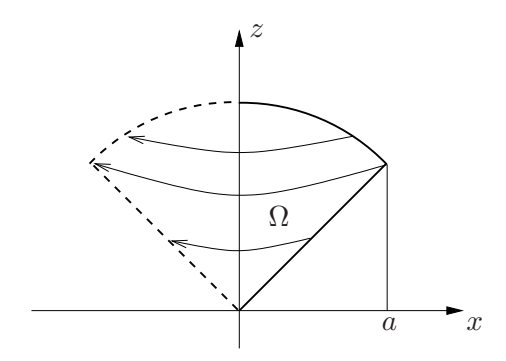


Figura 3: L'insieme  $\Omega$  la cui rotazione genera il settore sferico alla figura 2

dalla rotazione del sostegno di  $\gamma$  attorno all'asse z di un angolo  $\alpha \in [0, 2\pi]$  è

$$|\Sigma| = \alpha L(\gamma) x_B = \alpha \int_{\gamma} x \, ds \,, \tag{1}$$

dove  $L(\gamma)$  è la lunghezza di  $\gamma$  e  $x_B$  è l'ascissa del baricentro di  $\gamma$ .

**Dim.** Se  $\gamma(t) = (x(t), 0, z(t))$ , una parametrizzazione di  $\Sigma$  è data da

$$\sigma(t,\varphi) = (x(t)\cos\varphi, x(t)\sin\varphi, z(t))$$
  $(t,\varphi) \in [a,b] \times [0,\alpha]$ .

Allora

$$\partial_t \sigma(t,\varphi) = \left( x'(t) \cos \varphi, x'(t) \sin \varphi, z'(t) \right), \qquad \partial_\varphi \sigma(t,\varphi) = \left( -x(t) \sin \varphi, x(t) \cos \varphi, 0 \right).$$

Poiché

$$\partial_t \sigma(t,\varphi) \wedge \partial_{\varphi} \sigma(t,\varphi) = -x(t)z'(t)\cos\varphi \,\mathbf{i} + x(t)z'(t)\sin\varphi \,\mathbf{j} + x(t)x'(t)\,\mathbf{k}$$

si ha

$$\|\partial_t \sigma(t,\varphi) \wedge \partial_\varphi \sigma(t,\varphi)\| = x(t) \|\gamma'(t)\| \neq 0$$

essendo  $\gamma$  regolare e x(t) > 0 per ogni  $t \in [a, b]$ . Allora

$$|\Sigma| = \iint_{[a,b]\times[0,\alpha]} x(t) \|\gamma'(t)\| dt d\varphi = \alpha \int_{\gamma} x ds,$$

come si voleva  $\Box$ 

Analogamente al teorema 3, il teorema di Guldino afferma che l'area della superficie generata dalla rotazione del sostegno di una curva piana  $\gamma$  regolare è pari al prodotto della lunghezza di  $\gamma$  per la lunghezza della curva percorsa dal baricentro durante la rotazione.

Osservazione 1 Si noti che il teorema 4 di Guldino in generale non vale se  $\gamma(t) = (x(t), 0, z(t))$  verifica  $x(t_1) < 0 < x(t_2)$  per qualche  $t \in ]a, b[$ , cioè se l'asse attorno a cui il sostegno della curva ruota ha intersezione non vuota con il sostegno stesso. Ad esempio, il segmento che unisce i

punti (1,0,1) e (-1,0,-1) genera con una rotazione completa attorno all'asse z una superficie conica a due falde che evidentemente non ha area nulla. Però il baricentro del segmento coincide con (0,0,0), che non è coinvolto nella rotazione, e quindi (1) non vale. Per calcolare l'area della superficie ottenuta consideriamo i due segmenti congiungenti l'origine con (1,0,1) e con (-1,0,-1): siamo nelle condizioni di poter applicare il teorema di Guldino a ciascuna delle due superfici  $\Sigma_1$  e  $\Sigma_2$  ottenute. I due segmenti misurano entrambi  $\sqrt{2}$  ed evidentemente i baricentri sono rispettivamente (1/2,0,1/2) e (-1/2,0,-1/2). La superficie  $\Sigma=\Sigma_1\cup\Sigma_2$  ha allora area

$$|\Sigma| = |\Sigma_1| + |\Sigma_2| = 2\pi\sqrt{2} \cdot \frac{1}{2} + 2\pi\sqrt{2} \cdot \frac{1}{2} = 2\sqrt{2}\pi$$
.

# Teorema della divergenza in $\mathbb{R}^2$

Il teorema della divergenza in  $\mathbb{R}^2$  è una conseguenza delle formule di Green nel piano. Innanzitutto diamo la seguente

**Definizione 1** Un sottoinsieme  $\Omega \subset \mathbb{R}^2$  è un dominio di Green se

- 1.  $\Omega$  è la chiusura di un aperto connesso;
- 2. la frontiera di  $\Omega$  è costituita dall'unione disgiunta di un numero finito di sostegni di curve di Jordan regolari a tratti, orientate in modo tale da percorrere  $\partial\Omega$  tenendo  $\Omega$  a sinistra;
- 3.  $\Omega$  è decomponibile tramite un numero finito di "tagli" paralleli agli assi in un numero finito di domini semplici rispetto ad entrambi gli assi.

Ricordiamo che in un dominio di Green  $\Omega$  valgono le formule di Green: se  $f \in \mathcal{C}^1(\Omega)$  allora

$$\iint_{\Omega} \partial_x f \, dx dy = \int_{\partial \Omega^+} f \, dy \,, \qquad \iint_{\Omega} \partial_y f \, dx dy = -\int_{\partial \Omega^+} f \, dx$$

dove  $\partial\Omega^+$  è la frontiera di  $\Omega$  orientata come nella definizione 1. Nel seguito, dato un dominio di Green  $\Omega \subset \mathbb{R}^2$ , indichiamo con  $\mathbf{n}^e(P)$  la normale a  $\partial\Omega$  esterna ad  $\Omega$  in un suo punto P.

Teorema 5 (della divergenza in  $\mathbb{R}^2$ ) Siano  $\Omega \subset \mathbb{R}^2$  un dominio di Green e  $\mathbf{F}: \Omega \to \mathbb{R}^2$  un campo vettoriale limitato e di classe  $\mathcal{C}^1$ . Allora

$$\iint_{\Omega} \operatorname{div} \mathbf{F} \, dx dy = \int_{\partial \Omega} \langle \mathbf{F}, \mathbf{n}^e \rangle \, ds \,. \tag{2}$$

**Dim.** Poiché  $\Omega$  è un dominio di Green, valgono le formule di Green, e quindi se  $\mathbf{F} = (F_1, F_2)$ , si ha in particolare

$$\iint_{\Omega} \partial_x F_1 \, dx dy = \int_{\partial \Omega^+} F_1 \, dy \,, \qquad \iint_{\Omega} \partial_y F_2 \, dx dy = -\int_{\partial \Omega^+} F_2 \, dx \,.$$

Sommando le due formule si ottiene

$$\iint_{\Omega} \operatorname{div} \mathbf{F} \, dx dy = \iint_{\Omega} \left( \partial_x F_1 + \partial_y F_2 \right) dx dy = \int_{\partial \Omega^+} F_1 \, dy - F_2 \, dx \,. \tag{3}$$

Si ricordi ora che  $\partial\Omega$  è unione disgiunta di un numero finito di curve di Jordan regolari a tratti, siano esse  $\gamma_1, \ldots, \gamma_k$ , con  $\gamma_j(t) = (x_j(t), y_j(t)), t \in [a_j, b_j]$ . Allora (3) si scrive

$$\iint_{\Omega} \operatorname{div} \mathbf{F} \, dx dy = \int_{\partial \Omega^{+}} F_{1} \, dy - F_{2} \, dx = \sum_{j=1}^{k} \int_{\gamma_{j}} F_{1} \, dy - F_{2} \, dx$$

$$= \sum_{j=1}^{k} \int_{a_{j}}^{b_{j}} \left[ F_{1}(\gamma_{j}(t)) y_{j}'(t) - F_{2}(\gamma_{j}(t)) x_{j}'(t) \right] dt$$

$$= \sum_{j=1}^{k} \int_{a_{j}}^{b_{j}} \left\langle \mathbf{F}(\gamma_{j}(t)), (y_{j}'(t), -x_{j}'(t)) \right\rangle dt .$$

Essendo  $\gamma_j$  orientata in modo da lasciare  $\Omega$  alla propria sinistra, il vettore  $(y_j'(t), -x_j'(t))$  è un vettore normale esterno a  $\partial\Omega$  (si veda la figura 4). Se ne deduce che vale

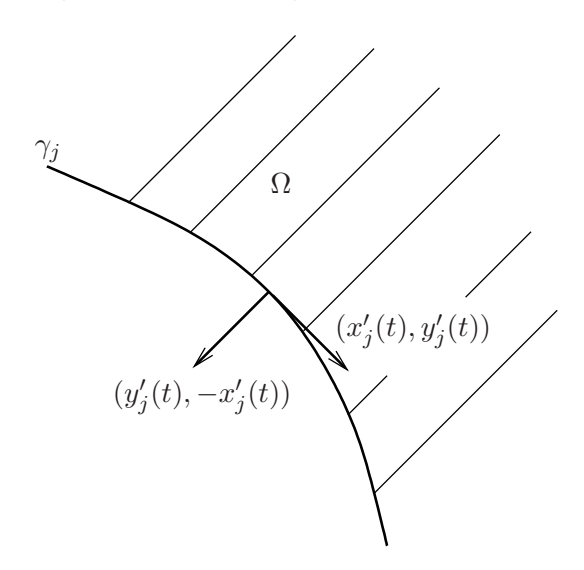


Figura 4: Normale esterna

$$\iint_{\Omega} \operatorname{div} \mathbf{F} \, dx dy = \sum_{j=1}^{k} \int_{a_{j}}^{b_{j}} \langle \mathbf{F}(\gamma_{j}(t)), \mathbf{n}^{e}(\gamma_{j}(t)) \rangle \|\gamma_{j}'(t)\| \, dt \,,$$

e quindi (2).

# Teorema della divergenza in $\mathbb{R}^3$

In questo paragrafo enunceremo il teorema della divergenza in  $\mathbb{R}^3$  e lo dimostreremo per domini normali rispetto a tutti gli assi. Prima di tutto ci serve una definizione di dominio di Green in  $\mathbb{R}^3$ .

**Definizione 2** Un sottoinsieme  $\Omega \subset \mathbb{R}^3$  è un dominio di Green se

- 1.  $\Omega$  è la chiusura di un aperto connesso;
- 2. la frontiera di  $\Omega$  è costituita dall'unione disgiunta di un numero finito di superfici ammissibili senza bordo orientabili ;
- 3.  $\Omega$  è decomponibile tramite un numero finito di "tagli" paralleli ai piani coordinati in un numero finito di domini semplici rispetto a tutti gli assi coordinati.

Analogamente a quanto fatto per i domini di Green in  $\mathbb{R}^2$ , nel seguito, dato un dominio di Green  $\Omega \subset \mathbb{R}^3$ , indichiamo con  $\mathbf{n}^e(P)$  la normale a  $\partial\Omega$  esterna ad  $\Omega$  in un suo punto P.

Teorema 6 (della divergenza in  $\mathbb{R}^3$ ) Siano  $\Omega \subset \mathbb{R}^3$  un dominio di Green e  $\mathbf{F}: \Omega \to \mathbb{R}^3$  un campo vettoriale limitato e di classe  $\mathcal{C}^1$ . Allora

$$\iiint_{\Omega} \operatorname{div} \mathbf{F} \, dx dy dz = \iint_{\partial \Omega} \langle \mathbf{F}, \mathbf{n}^e \rangle \, dS \,. \tag{4}$$

**Dim.** Dimostreremo il teorema assumendo  $\Omega$  semplice rispetto a tutti gli assi. Se  $\mathbf{F} = (F_1, F_2, F_3)$  e  $\mathbf{n}^e = (n_1^e, n_2^e, n_3^e)$ , (4) si riscrive

$$\iiint_{\Omega} \left[ \partial_x F_1 + \partial_y F_2 + \partial_z F_3 \right] dx dy dz = \iint_{\partial\Omega} \left( F_1 n_1^e + F_2 n_2^e + F_3 n_3^e \right) dS, \tag{5}$$

dove in tal caso  $\partial\Omega$  è un'unica superficie ammissibile. Se proviamo che valgono

$$\iiint_{\Omega} \partial_x f \, dx dy dz = \iint_{\partial\Omega} f n_1^e \, dS \,, \qquad \iiint_{\Omega} \partial_y f \, dx dy dz = \iint_{\partial\Omega} f n_2^e \, dS \,,$$

$$\iiint_{\Omega} \partial_z f \, dx dy dz = \iint_{\partial\Omega} f n_3^e \, dS \,, \tag{6}$$

comunque si scelga una funzione  $f:\Omega\to\mathbb{R}$  di classe  $\mathcal{C}^1$ , allora prendendo  $f=F_1$  nella prima uguaglianza,  $f=F_2$  nella seconda e  $f=F_3$  nella terza, e sommando membro a membro le tre uguaglianze così ottenute, si deduce (5). Essendo  $\Omega$  normale rispetto a tutti gli assi, possiamo limitarci a provare l'ultima uguaglianza, (6). Siano allora  $D\subset\mathbb{R}^2$  chiuso e misurabile e  $g_1,g_2:D\to\mathbb{R}$  continue tali che

$$\Omega = \{(x, y, z) \in \mathbb{R}^3 : (x, y) \in D, g_1(x, y) \le z \le g_2(x, y)\}.$$

Integrando per fili si ottiene

$$\iiint_{\Omega} \partial_z f(x, y, z) \, dx dy dz = \iint_{D} \left( \int_{g_1(x, y)}^{g_2(x, y)} \partial_z f(x, y, z) \, dz \right) \, dx dy$$

$$= \iint_{D} \left[ f(x, y, g_2(x, y)) - f(x, y, g_1(x, y)) \right] \, dx dy . \tag{7}$$

Si noti poi che la frontiera di  $\Omega$  è composta da

$$\Sigma_{1} = \{(x, y, z) \in \mathbb{R}^{3} : (x, y) \in D, \ z = g_{1}(x, y)\},$$

$$\Sigma_{2} = \{(x, y, z) \in \mathbb{R}^{3} : (x, y) \in D, \ z = g_{2}(x, y)\},$$

$$\Sigma_{0} = \{(x, y, z) \in \mathbb{R}^{3} : (x, y) \in \partial D, \ g_{1}(x, y) \leq z \leq g_{2}(x, y)\}.$$

Nella parte verticale  $\Sigma_0$  la terza componente del versore normale esterno  $\mathbf{n}^e$  è nulla, mentre in  $\Sigma_1$  e  $\Sigma_2$  si ha rispettivamente

$$\mathbf{n}^e = \frac{(\partial_x g_1, \partial_y g_1, -1)}{\sqrt{1 + (\partial_x g_1)^2 + (\partial_x g_1)^2}},$$

$$\mathbf{n}^e = \frac{(-\partial_x g_2, -\partial_y g_2, 1)}{\sqrt{1 + (\partial_x g_2)^2 + (\partial_x g_2)^2}}.$$

Se ne deduce che

$$\iint_{\partial\Omega} f n_3^e dS = \sum_{i=0}^2 \iint_{\Sigma_i} f n_3^e dS = \iint_{\Sigma_1} f n_3^e dS + \iint_{\Sigma_2} f n_3^e dS$$
$$= -\iint_D f(x, y, g_1(x, y)) dx dy + \iint_D f(x, y, g_2(x, y)) dx dy.$$

Confrontando quanto appena ottenuto con (7) si ottiene (6), come si voleva.

Un'applicazione del teorema della divergenza consente di dimostrare la seguente

Proposizione 2 (formula di integrazione per parti) Siano  $\Omega \subset \mathbb{R}^3$  un dominio di Green,  $\mathbf{F} : \Omega \to \mathbb{R}^3$  un campo vettoriale di classe  $\mathcal{C}^1$  limitato e  $g : \Omega \to \mathbb{R}$  anch'essa di classe  $\mathcal{C}^1$  e limitata. Allora

$$\iiint_{\Omega} \langle \nabla g, \mathbf{F} \rangle = \iint_{\partial \Omega} \langle g\mathbf{F}, \mathbf{n}^e \rangle - \iiint_{\Omega} g \operatorname{div} \mathbf{F}$$
 (8)

Dim. Applichiamo il teorema della divergenza al campo vettoriale

$$\Omega \ni (x, y, z) \mapsto g(x, y, z) \mathbf{F}(x, y, z)$$
.

Si ottiene

$$\iiint_{\Omega} \operatorname{div}(g\mathbf{F}) \, dx dy dz = \iint_{\partial \Omega} \langle g\mathbf{F}, \mathbf{n}^e \rangle \, dS \,, \tag{9}$$

dove  $\mathbf{n}^e$  indica al solito il versore normale esterno. Poiché, se  $\mathbf{F} = (F_1, F_2, F_3)$ , si ha

$$\operatorname{div}(g\mathbf{F}) = \partial_x(gF_1) + \partial_y(gF_2) + \partial_z(gF_3)$$

$$= (\partial_x g)F_1 + (\partial_y g)F_2 + (\partial_z g)F_3 + g(\partial_x F_1 + \partial_y F_2 + \partial_z F_3)$$

$$= \langle \nabla g, \mathbf{F} \rangle + g \operatorname{div} \mathbf{F},$$

(8) segue immediatamente da (9).

### Esercizi

1. Sia  $D = \{(x,y) \in \mathbb{R}^2 : 1 \le ye^x \le 2, 2 \le xy + x \le 3\}$ . Calcolare, ricorrendo ad un opportuno cambiamento di variabili, l'integrale:

$$\iint_D e^x |xy - 1 - y| \frac{e^{2x}y^2}{x^2(1+y)^2} \, dx dy.$$

(Attenzione: verifica dell'iniettività difficile!)

2. Sia D l'insieme dei punti del secondo quadrante del piano xy soddisfacenti alle seguenti condizioni:

$$y - (8 - 4e^{1/2})x^2 \ge 0$$
,  $y - 2 \le -e^{|x|}$ .

Determinare il volume del solido generato dalla rotazione di D attorno all'asse y.

3. Si calcoli l'area della superficie  $\Sigma$  parametrizzata da

$$\sigma(u, v) = u \cos v \mathbf{i} + u \sin v \mathbf{j} + v \mathbf{k}, \qquad (u, v) \in [0, 1] \times [0, 2\pi].$$

(Tale superficie è detta *elicoide*, si veda la figura 5)

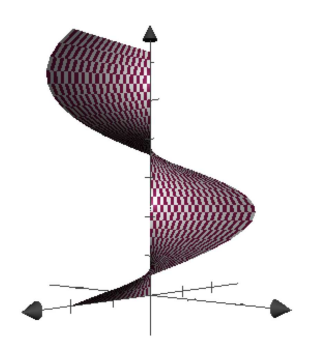


Figura 5: Elicoide

4. Si disegni la superficie  $\Sigma$  parametrizzata da

$$\sigma(y,\vartheta) = (\sqrt{y^2 + 1}\cos\vartheta, y, \sqrt{y^2 + 1}\sin\vartheta), \qquad \vartheta \in [0,2\pi], \ |y| < 1,$$

e si calcoli il flusso del campo vettoriale

$$\mathbf{F}(x, y, z) = x^2 \mathbf{i} + y/2 \mathbf{j} + x \mathbf{k}$$

uscente da  $\Sigma$ , orientata in modo che nel punto (1,0,0) il versore normale coincida con i.

**5.** Si consideri il sottoinsieme  $\Sigma$  di  $\mathbb{R}^3$  formato dall'intersezione della calotta sferica di equazione  $x^2 + y^2 + z^2 = 4$ , z > 0, con il cilindro  $(x - 1)^2 + y^2 < 1$  (finestra di Viviani).

- 1. Lo si disegni e se ne dia una parametrizzazione.
- 2. Si dimostri che è una superficie regolare e se ne scriva l'equazione del piano tangente e un vettore normale in  $(1,0,\sqrt{3})$ .
- 3. Si trovi il suo bordo, si dimostri che è una curva regolare a tratti e se ne calcoli un vettore tangente in  $(1, 1, \sqrt{2})$ .
- 4. Si calcolino l'area e il baricentro di  $\Sigma$ , supponendo la densità di massa costante.
- 5. Si calcoli il flusso del campo vettoriale  $\mathbf{f}(x, y, z) = \mathbf{k}$  attraverso  $\Sigma$ , orientata in modo che il versore normale abbia prodotto scalare positivo con  $\mathbf{k}$ .
- $\mathbf{6.}$  Sia E l'insieme che in coordinate cilindriche è descritto da

$$E = \left\{ (\rho, \vartheta, z) : \rho \leq (2-z)(1+\cos\vartheta) \,, \ 0 \leq z \leq 1 \right\}^1.$$

Si calcoli direttamente e senza usare il teoremi di Gauss e di Stokes il flusso uscente del rotore del campo vettoriale

$$\mathbf{F}(x,y,z) = y\,\mathbf{i} + (x-z)\,\mathbf{j} - (x+y)\,\mathbf{k}$$

attraverso la superficie laterale di  ${\cal E}.$ 

7. Siano  $\mathbf{F}(x,y,z) = y\,\mathbf{i} + x\,\mathbf{j}$  un campo vettoriale in  $\mathbb{R}^3$  e  $\Sigma$  la porzione di superficie di equazione z = xy con  $1 \le x \le \sqrt{2-y^2}$  (si veda la figura 6), orientata in modo che il versore normale abbia prodotto scalare positivo con il terzo versore  $\mathbf{k}$  della base canonica di  $\mathbb{R}^3$ . Si calcoli il flusso di  $\mathbf{F}$  attraverso  $\Sigma$ .

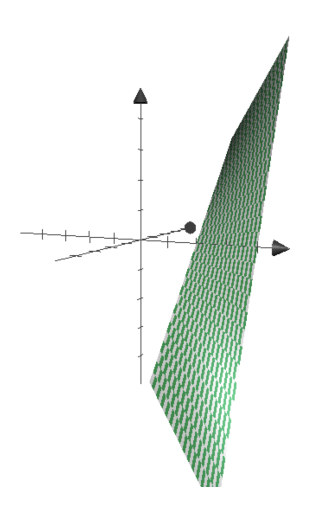


Figura 6: La superficie dell'esercizio 7

<sup>&</sup>lt;sup>1</sup>La curva la cui equazione polare è  $\rho=a(1+\cos\vartheta)$ , con a>0, è detta cardioide.

## 8. Si calcoli la circuitazione del campo vettoriale

$$\mathbf{F}(x, y, z) = x^2 \,\mathbf{i} + x \,\mathbf{j} + y \,\mathbf{k}$$

lungo la circonferenza sul piano z=0 di equazione  $x^2+y^2=4$  percorsa in senso antiorario, sia mediante un calcolo diretto, sia usando il teorema di Stokes.

## 9. Si calcoli il flusso del campo vettoriale

$$\mathbf{F}(x, y, z) = ye^{x+y}\mathbf{i} - xe^{x+y}\mathbf{j} + xy\mathbf{k}$$

uscente dalla frontiera del solido

$$S = \{(x, y, z) \in \mathbb{R}^3 : |y| \le x \le 2 - |y|, \ 0 \le z \le x + y\}.$$